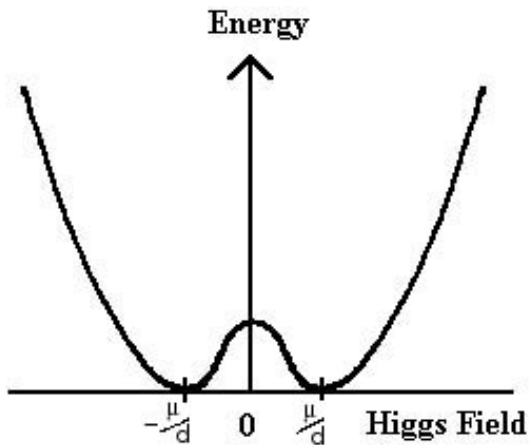


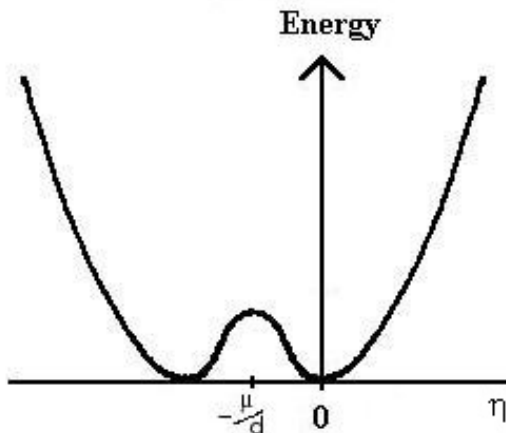
- Erklärung anhand einfachem Higgs-Potential $U = -\frac{\mu^2\phi^2}{2} + \frac{\lambda^2\phi^4}{4}$
- klass. Mechanik: Lagrangefunktion $L = T - U$ (bzw. Lagrange-Dichte \mathcal{L})
- relativistische Energiegleichung $E^2 = p^2c^2 + m_0^2c^4$
- wird zur Klein-Gordon-Gl. durch $E \rightarrow i\hbar\frac{\partial}{\partial t}$, $\vec{p} \rightarrow -i\hbar\vec{\nabla}$
 $\Rightarrow (\nabla^2 - \frac{m_0^2c^2}{\hbar^2} - \frac{1}{c^2}\frac{\partial^2}{\partial t^2})\phi = 0 \Leftrightarrow \partial_\mu\partial^\mu\phi + (\frac{mc}{\hbar})^2\phi = 0$
- $\partial^\mu =$ Ableitung nach Raum-Zeit-Vierervektoren (ct, x_1, x_2, x_3)
 $\partial_\mu =$ Ableitung nach kovarianten Raum-Zeit-Vierervektoren
 $(ct, -x_1, -x_2, -x_3)$
- Erinnerung: Bewegungsgleichung aus Lagrangefunktion durch Euler-Lagrange-Gleichung $\partial_\mu(\frac{\partial L}{\partial(\partial_\mu\phi_i)}) = \frac{\partial L}{\partial\phi_i}$
- Geforderte Bewegungsgleichungen ergeben sich aus folgender Lagrange-Funktion: $L = \frac{1}{2}(\partial_\mu\phi)(\partial^\mu\phi) - \frac{1}{2}(\frac{mc}{\hbar})^2\phi^2$

- Durch Vergleich mit 2. Term dieser Gleichung immer Massenbestimmung eines Feldquants möglich (ggf. Reihenentwicklung/Feynman-Kalkül).
- Beispiel mit Higgspotential:

$$L = T - U = \frac{1}{2}(\partial_\mu \phi)(\partial^\mu \phi) + \frac{\mu^2}{2}\phi^2 - \frac{\lambda^2}{4}\phi^4; \mu, \lambda \in \mathbb{R}$$
- vgl. 2. Term mit $\frac{1}{2}\left(\frac{mc}{\hbar}\right)^2\phi^2 \Rightarrow m^2 = -\frac{\mu^2\hbar^2}{c^2} \Rightarrow m \notin \mathbb{R}$
- Grund: spontane Symmetriebrechung: Potential ursprungssymmetrisch, Grundzustände $(\pm \frac{\mu}{d})$ nicht.



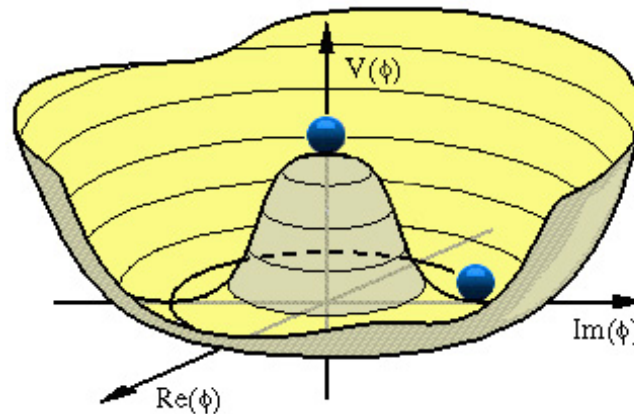
- Befindet sich ein Teilchen im Grundzustand, ist ohne äußere Einflüsse die Symmetrie "spontan" gebrochen.
- Konsequenz: Potential U muss um einen der Grundzustände ($\pm \frac{\mu}{d}$) entwickelt werden: $\eta = \phi \pm \frac{\mu}{d}$



- $\Rightarrow L = \frac{1}{2}(\partial_\mu \eta)(\partial^\mu \eta) - \mu^2 \eta^2 \pm \mu \lambda \eta^3 - \frac{1}{4} \lambda^2 \eta^4 + \frac{1}{2} \left(\frac{\mu^2}{\lambda}\right)^2$
- vgl. mit $L = \frac{1}{2}(\partial_\mu \eta)(\partial^\mu \eta) - \frac{1}{2} \left(\frac{mc}{\hbar}\right)^2 \eta^2 \Rightarrow m = \sqrt{2} \frac{\mu \hbar}{c}$
- Restliche Terme in L beschreiben Wechselwirkungen bzw. bedeutungslose Konstanten

Eichinvarianz

- Schritt nach 3D \rightarrow Komplexe Erweiterung von ϕ :
 $\phi \rightarrow \phi_1 + i\phi_2, \phi^* \phi = \phi_1^2 + \phi_2^2$
- $\Rightarrow L = \frac{1}{2}(\partial_\mu \phi)^*(\partial^\mu \phi) + \frac{1}{2}\mu^2(\phi^* \phi) - \frac{1}{4}\lambda^2(\phi^* \phi)^2$



- Forderung nach Eichinvarianz: grundlegende Eigenschaft aller physikalischen Theorien

- L bereits invariant unter **globaler** Phasentransformation
($\phi \rightarrow e^{i\theta_0} \phi$)
- L jedoch (noch) nicht invariant unter **lokaler**
Phasentransformation ($\phi \rightarrow e^{i\theta(x)} \phi$) [$x =$ Vierervektor]
- ABER: renormierbar durch Eichfeld A^μ . Konkret wird dieses
eingeführt durch Anwendung der "kovarianten Ableitungen":
$$D_\mu = \partial_\mu + i \frac{q}{\hbar c} A_\mu$$
- $\Rightarrow L = \frac{1}{2} [(\partial_\mu - i \frac{q}{\hbar c} A_\mu) \phi^*][(\partial^\mu + i \frac{q}{\hbar c} A^\mu) \phi]$
 $+ \frac{1}{2} \mu^2 (\phi^* \phi) - \frac{1}{4} \lambda^2 (\phi^* \phi) - \frac{1}{16\pi} F^{\mu\nu} F_{\mu\nu}$
mit $F^{\mu\nu} \equiv \partial^\mu A^\nu - \partial^\nu A^\mu$
- Bei entsprechender Wahl von A_μ ist L nun auch **lokal**
eichinvariant, wie man nachrechnen kann.

- Um die Massenterme zu identifizieren, muss wieder um einen Grundzustand $\eta \in \{\text{Kreis mit Radius } \frac{\mu}{d}\}$ entwickelt werden; z.B. um $\phi = \phi_1 + i\phi_2 \equiv \frac{\mu}{d} + i \cdot 0$.
- Mit $\eta \equiv \phi_1 - \frac{\mu}{d}$ und $\xi \equiv \phi_2$ ergibt sich:

$$L = [\frac{1}{2}(\partial_\mu \eta)(\partial^\mu \eta) - \mu^2 \eta^2] + [\frac{1}{2}(\partial_\mu \xi)(\partial^\mu \xi)]$$

$$+ [-\frac{1}{16\pi} F^{\mu\nu} F_{\mu\nu} + \frac{1}{2}(\frac{q}{\hbar c} \frac{\mu}{\lambda})^2 A_\mu A^\mu]$$
 + Wechselwirkungsterme & Konstanten
- 1) Feld η mit Feldquant der Masse $m = \sqrt{2}\mu\hbar c$ - später interpretiert als Higgs-Boson
 2) masseloses "Goldstone-Boson"
 3) Lagrangefunktion für das anfangs masselose Eichfeld A_μ enthält plötzlich einen Massenterm!
- $m_A = 2\sqrt{\pi} \frac{q\mu}{\lambda c^2}$

- Goldstone-Boson kann noch durch geschickte Spezifizierung der Phasentransformationsvorschrift $\theta \equiv -\arctan\left(\frac{\phi_2}{\phi_1}\right)$ aus der Rechnung eliminiert werden.
- Modellrechnung für rein elektromagnetische WW., unsinnig da γ (interpretiert als Feldquant von A_μ) hier Masse erhält.
- Hingegen *will* man Masse der W - und Z -Bosonen erklären (physikalische Realität)
- Symmetrie war $U(1)$, d.h. nur **ein** Winkel als Erzeugender der Symmetrie.

- benutzt man $U(1) \times SU(2)$ - Symmetrie (mit drei zusätzlichen Winkeln als Erzeugenden):

- Komplizierteres Higgs-Feld $\Phi = \begin{pmatrix} \phi^+ \\ \phi^0 \end{pmatrix} = \begin{pmatrix} \phi_1^+ + i\phi_2^+ \\ \phi_1^0 + i\phi_2^0 \end{pmatrix}$

- Lagrange-Dichte $L = (\partial^\mu \Phi)^\dagger (\partial_\mu \Phi) + \mu^2 \Phi^\dagger \Phi - \lambda^2 (\Phi^\dagger \Phi)^2$

- erlangt lokale Eichinvarianz mit modifizierter kovarianter Ableitung $D_\mu = \partial_\mu + i\frac{g_1}{2}\tau \mathbf{W}_\mu + i\frac{g_2}{2}B_\mu$

- wendet man nun den Higgs-Mechanismus an (Rechnung wie zuvor), so erhält man:
 - ein Higgs-Teilchen der Masse $m_H = \sqrt{2}\mu$
 - geladene W-Bosonen der Masse $m_W = \frac{g_1\mu}{2\lambda}$
 - Z_0 und γ als Linearkombination der Eichfelder, sie mischen bei Wahl des Grundzustandes $\Phi_0 = \frac{1}{\sqrt{2}} \begin{pmatrix} 0 \\ \frac{\mu}{\lambda} \end{pmatrix}$ zu einem **masselosen** Photon und einem **massiven** Z_0 .

Experimente, die nach dem Higgs-Teilchen suchen

- CERN: LEP II
 - e^+e^- -Collider
 - 2.11.2000 abgeschaltet, zuletzt einige Ereignisse gefunden.
Keine eindeutige statistische Evidenz
 - hat bisherige Untergrenze für Higgs-Masse auf 114 GeV
hochgeschraubt, C.L. 95%
 - Ringbeschleuniger mit 4 Detektoren:
ALEPH, L3, DELPHI, OPAL

Experimente, die nach dem Higgs-Teilchen suchen

- CERN: LHC
 - pp -Collider, kann auch mit Pb-Ionen betrieben werden.
 - Erster Probelauf geplant für 2006, Physik ab 2007
 - Kann bis 14 TeV Schwerpunktsenergie messen
 - Ringbeschleuniger mit 4 Detektoren:
ALICE, ATLAS, LHC-B, CMS

- Fermilab: TEVATRON

- $p\bar{p}$ -Ring-Collider
- Vorteil ggü. pp -Collider: Höherer Wirkungsquerschnitt des Produktionskanals $q\bar{q} \rightarrow HW$, da $\bar{q} \in \bar{p}$
- Wird Energiebereich über 100 GeV um 2005/2006 erreichen, Luminosität steigt nur langsam an.
- Dann "Kopf-an-Kopf-Rennen" mit LHC erwartet.

- Fermilab: FMC

- Myon-Collider. Vorteil: Geringe Synchrotronstrahlung aufgrund hoher Myonmasse. Problem: geringe Lebensdauer der Myonen. Lösungsansatz: relativistische Geschwindigkeiten.
- frühes Planungsstadium, Inbetriebnahme in > 20 Jahren.

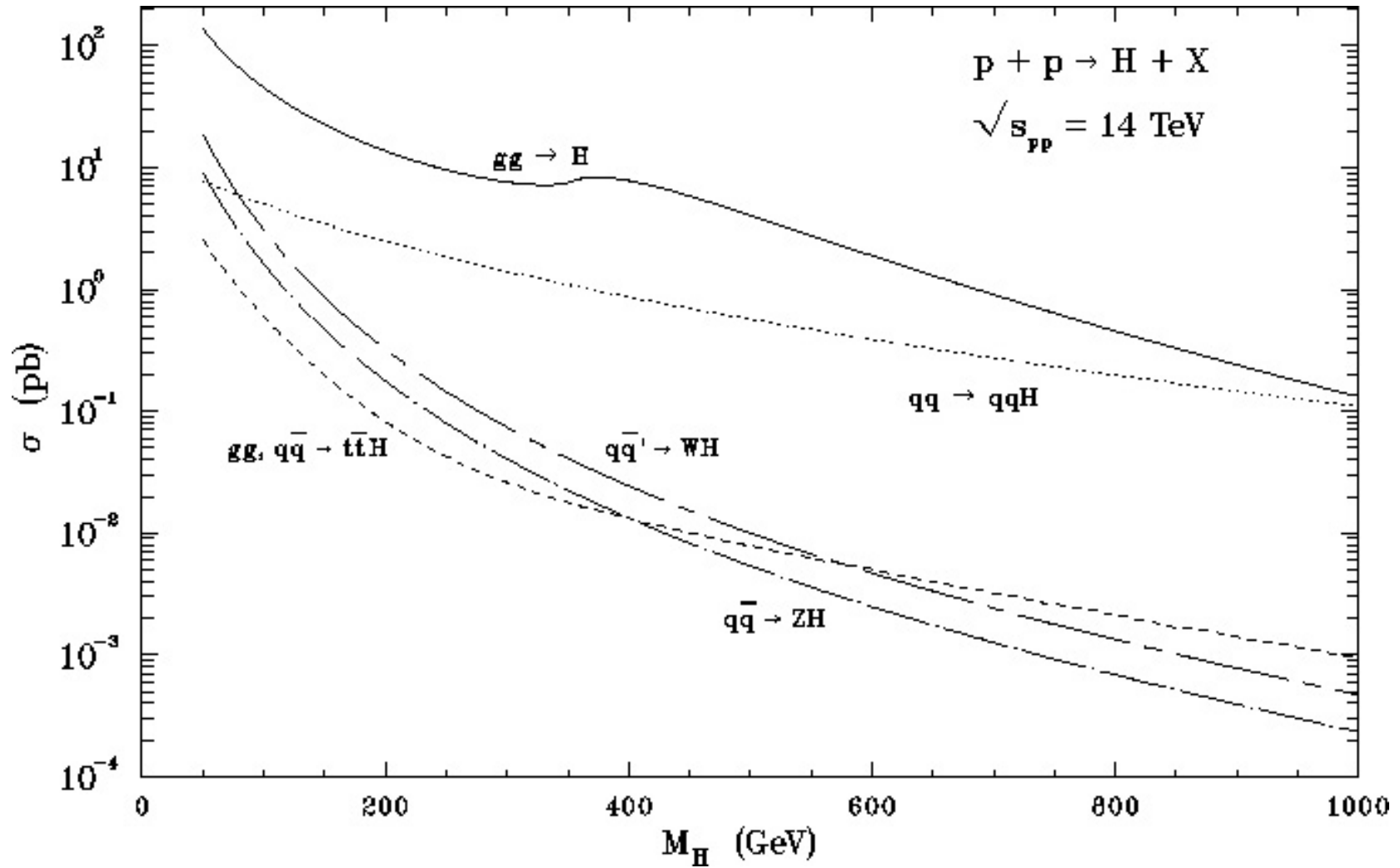


Figure 1: Wirkungsquerschnitte Higgs-Produktion am LHC

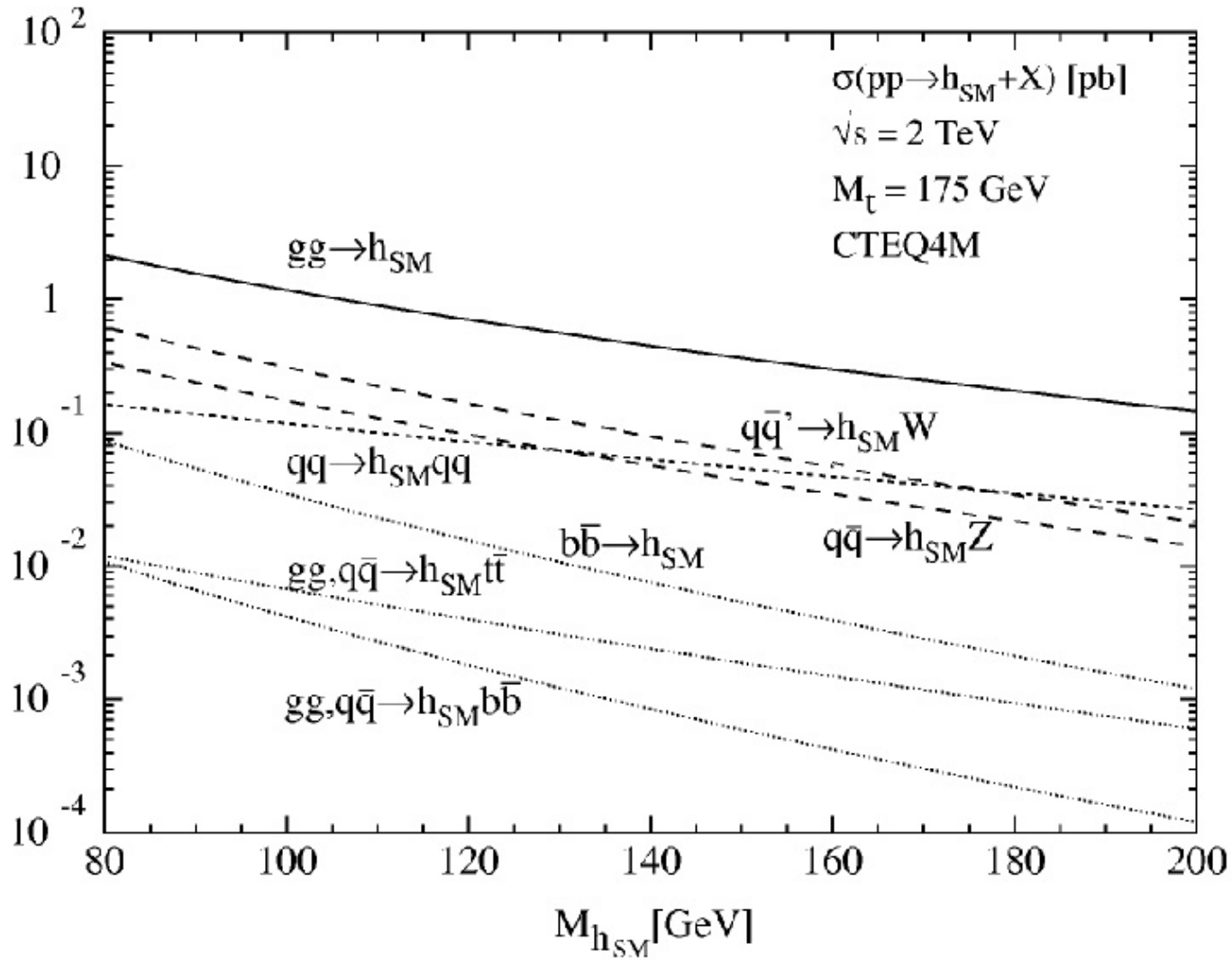
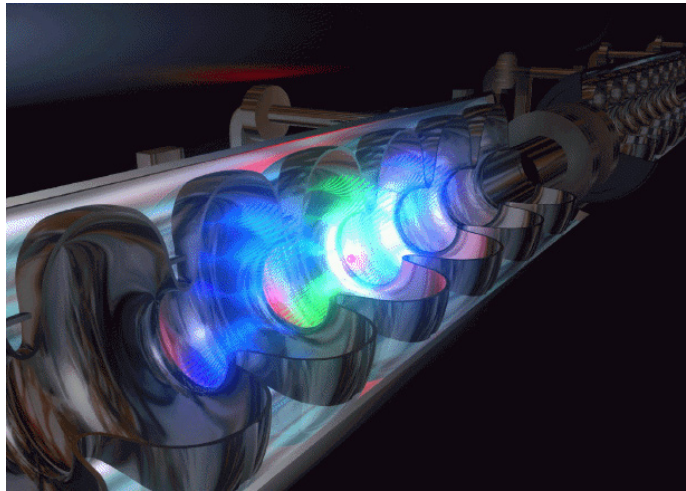


Figure 2: Wirkungsquerschnitte Higgs-Produktion am Tevatron

- SLAC: SLC
 - e^+e^- -Linear-Collider, Länge 3 km, Energien zu niedrig für Higgs-Suche
- SLAC: NLC (New Linear Collider)
 - e^+e^- -Linear-Collider, Länge 20 km, Energien bis 1 TeV
 - großer Vorteil ggü. hadronischen Beschleunigern: wesentlich geringerer Untergrund, da Elektronen bereits elementare Teilchen sind.
 - ⇒: 500 GeV bis 1 TeV (Stufe 2) hier liefern vergleichbare Ergebnisse wie 14 TeV bei LHC.
 - soll \sim 2010 in Betrieb genommen werden

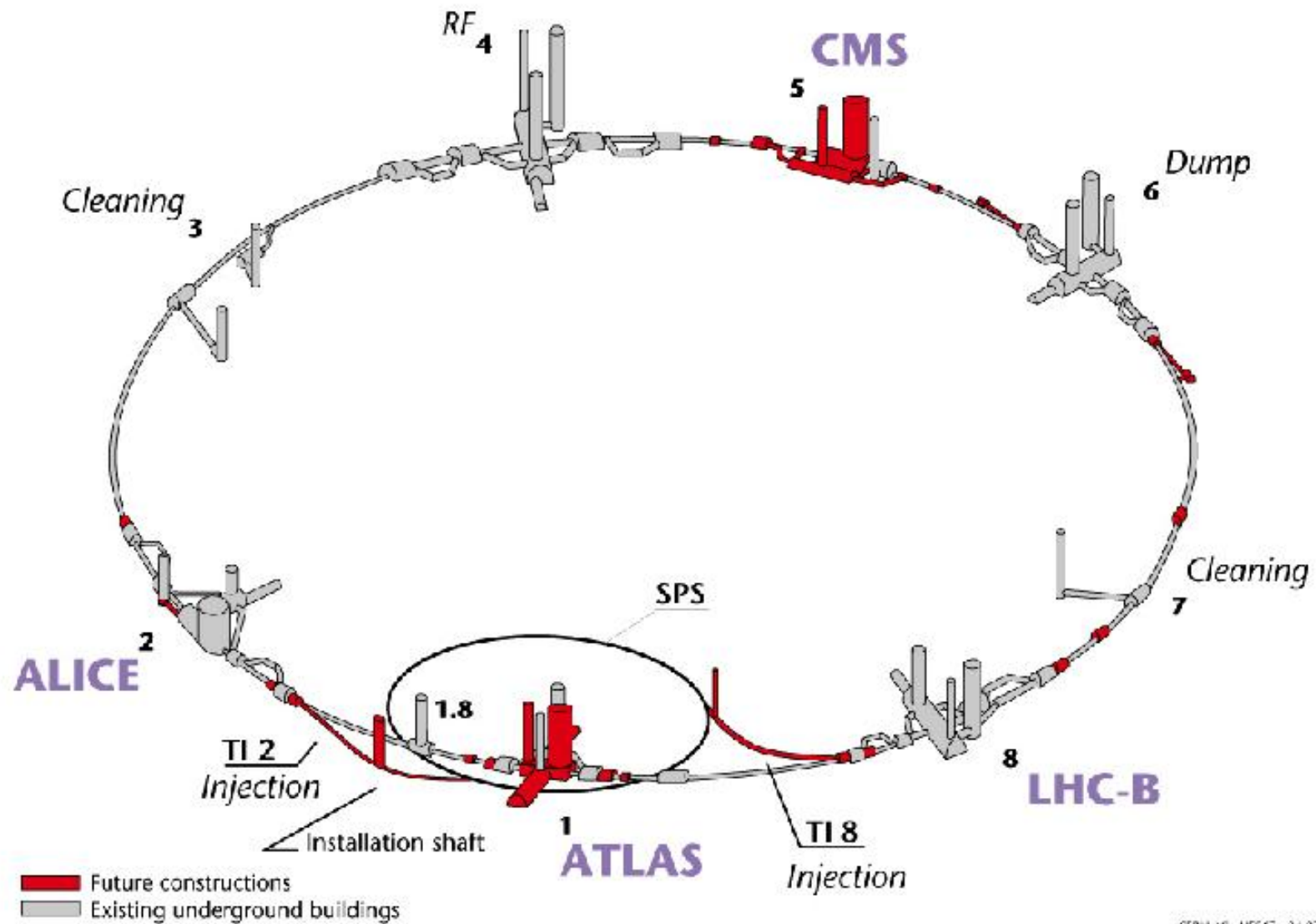
- DESY: HERA
- DESY: TESLA (~ 2011): e^+e^- -Linear-Collider, 500 GeV - 800 GeV (Stufe 2), Kosten: rd. EUR 3,5Mrd, "Tera Electron Volt Energy Superconducting Linear Accelerator"
- 33km Länge, davon 2x15km supraleitende Beschleunigungsstrecken



- KEK: (~ 2010) JLC (Japan Linear Collider)

Higgs-Physik am LHC

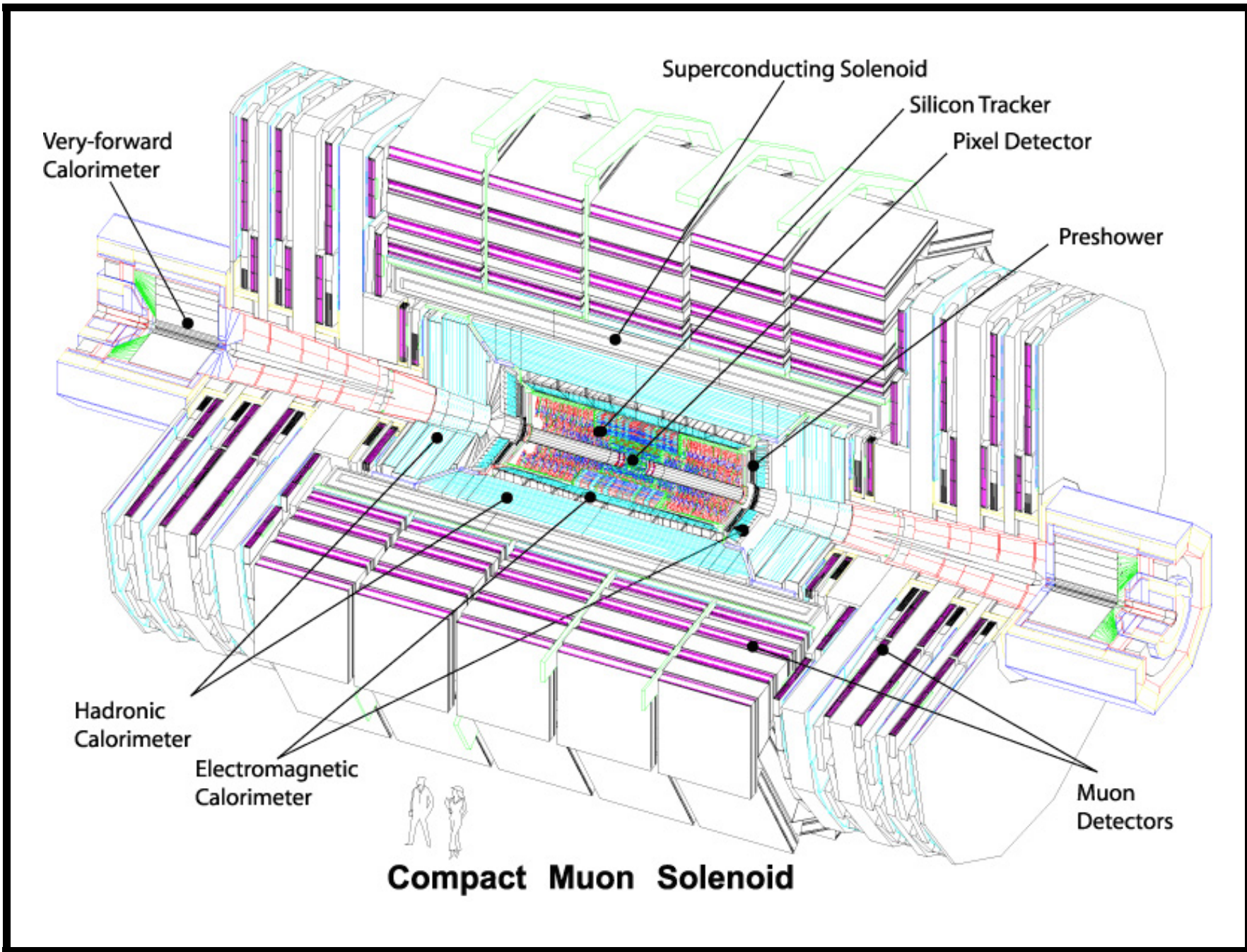
Layout of the LEP tunnel including future LHC infrastructures.

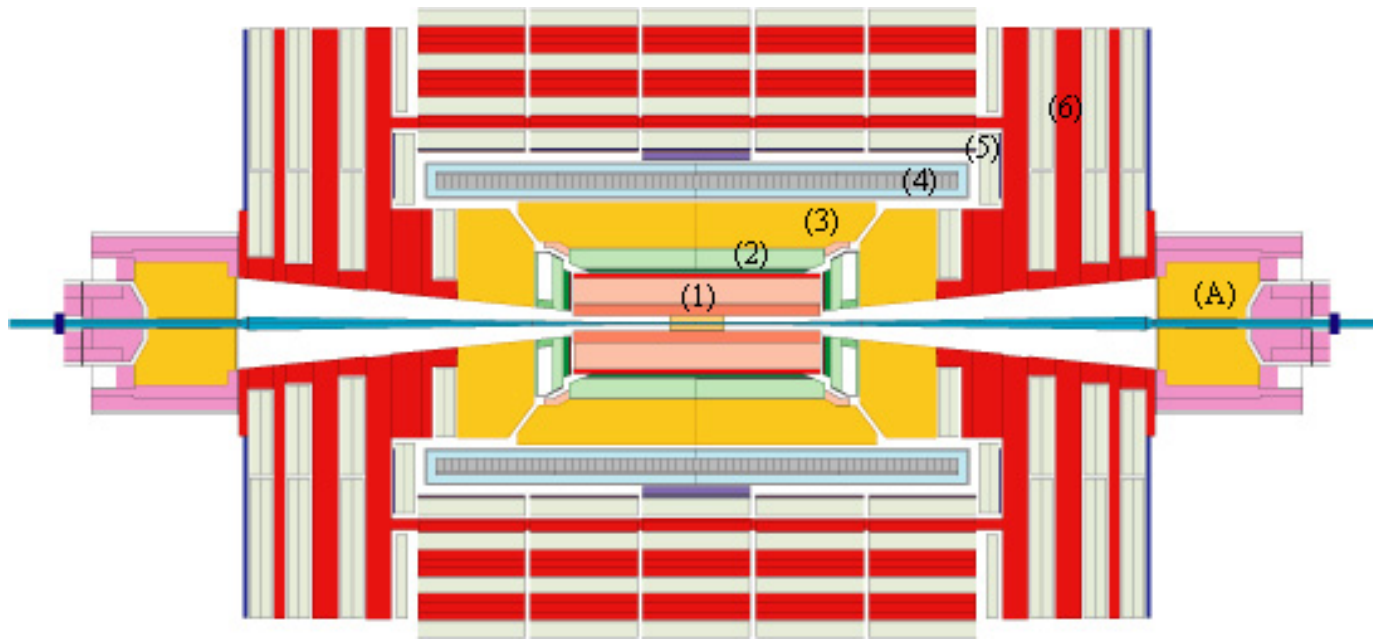


CERN AC - HF267 - 04-07-1997

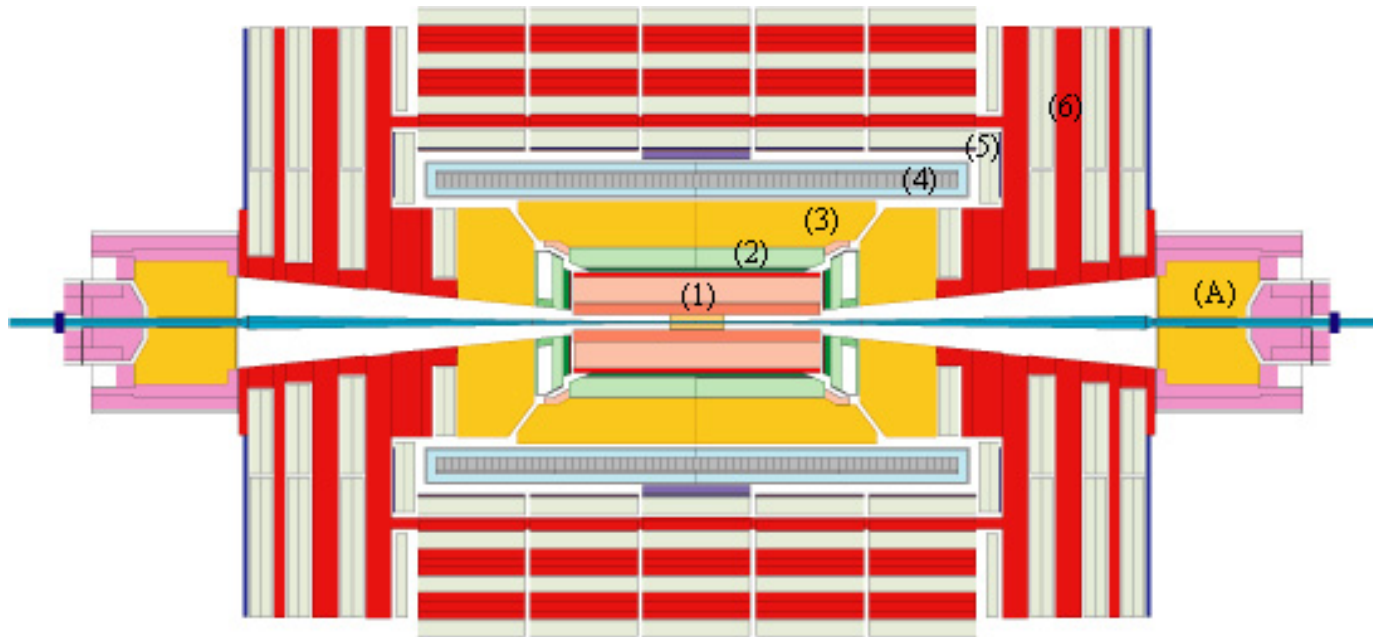
- Der Large Hadron Collider beschleunigt zwei Protonenstrahlen gegenläufig mit je bis zu 7 TeV ($\Rightarrow E_{c.m.} = 14 \text{ TeV}$) bei einer Luminosität von rund $10^{34} \text{ cm}^{-2} \text{ s}^{-1}$
- Acht Sektoren:
 - 4 Experimente (1=ATLAS, 2=ALICE, 5=CMS, 8=LHC-B)
 - Strahleinspeisung in den Speicherring in den Sektoren 2 und 8 jeweils vor dem Experiment
 - Hochfrequenz-Resonatorsystem (ca. +485 keV/Umlauf) in Sektor 4 zur Beschleunigung der Protonen, die im SPS auf $\sim 300 \text{ GeV}$ vorbeschleunigt wurden.
 - Verluste durch Synchrotronstrahlung: ca. -7 keV/Umlauf
 - beam dump in zwei Richtungen in Sektor 6: Graphitblöcke (ca. 750m vom Strahlengang entfernt) garantieren ausreichende Verdünnung der Teilchenschauer.

- beim Betrieb mit Pb-Ionen bis zu 1150 TeV.
- Alle Ablenkungs- und Fokussierungsmagnete supraleitend, Kühlung durch suprafluides He bei 1,7K. Vorteile:
 - Keine Zähigkeitsverluste \Rightarrow größerer Durchsatz,
 - 4K nicht kalt genug für Betrieb (Meißner-Ochsenfeld-Effekt: starkes Magnetfeld wirkt Supraleitung der Spulen entgegen, wird durch tiefere Temperaturen kompensiert)
- Näheres zum CMS-Detektor (Kooperation mit der RWTH, Ib sowie IIIa/b):
 - Besonders kompakte Bauweise (Compact Muon Solenoid)
 - Länge: 21,6 m; Durchmesser: 14,6 m
 - Wird erreicht durch ein Eisenjoch zur Rückleitung des Magnetfeldes

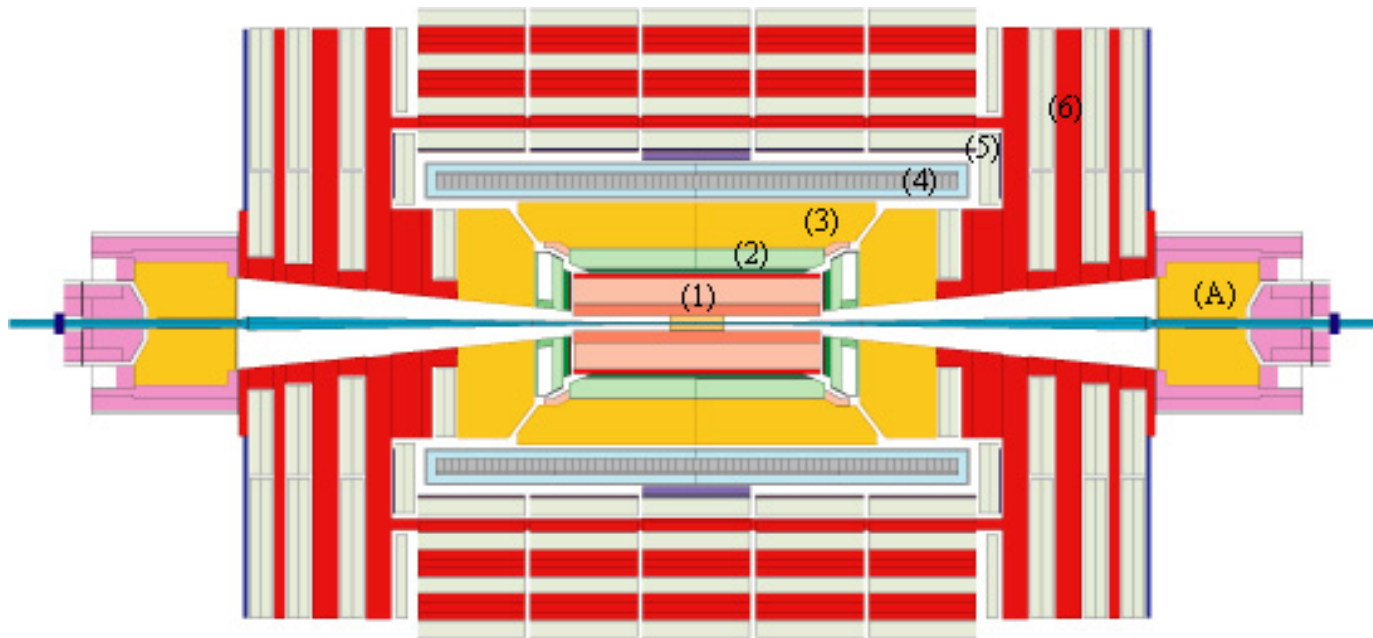




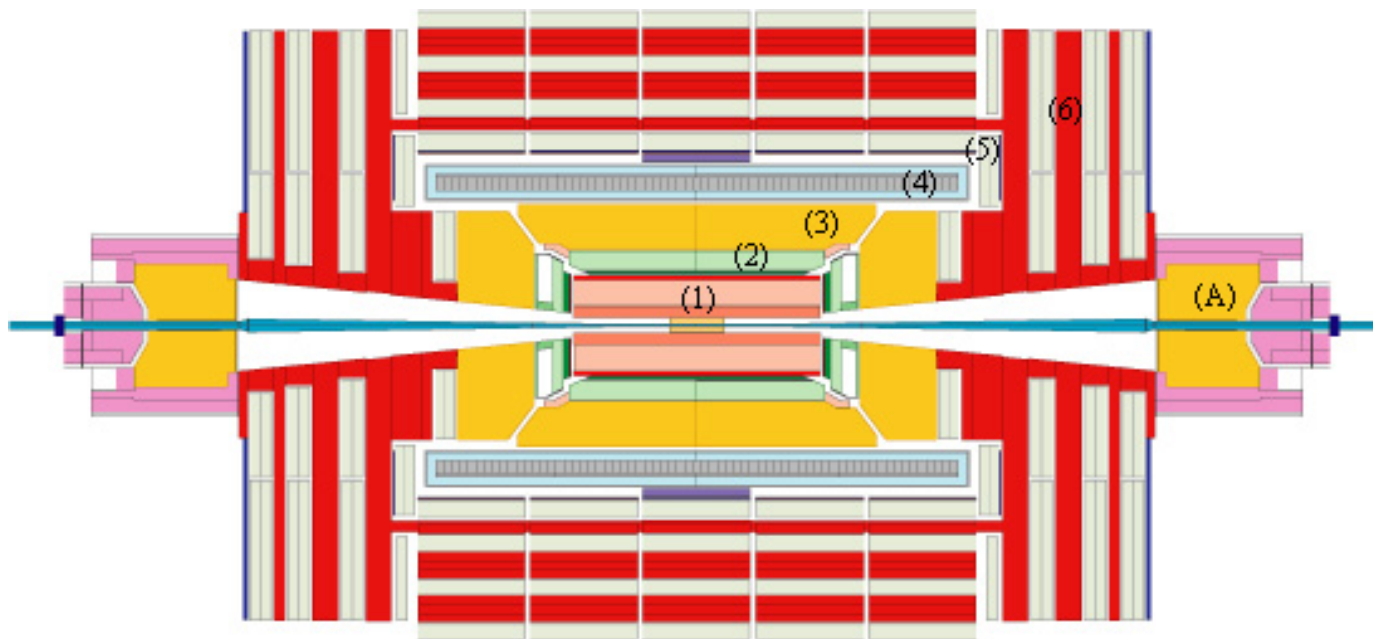
- (1) Spurerkennungssystem (central tracking): Vermessung von Teilchenbahnen und -impulsen nahe dem WW-Punkt.
Innen: Silizium-Pixeldetektoren (extrem hohe Ortsauflösung)
Außen: Silizium-Streifendetektoren (niedrigere Auflösung, dafür extrem schnell)
- entsteht unter Mitarbeit der Institute I und IIIa/b der RWTH



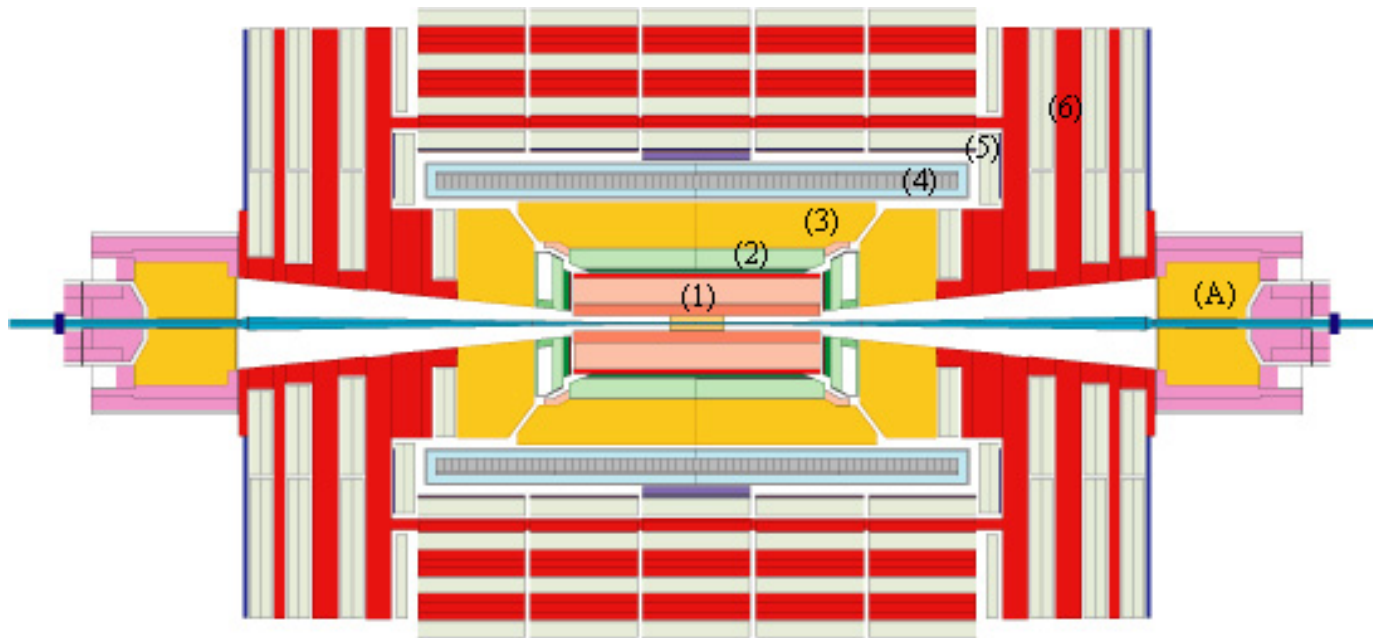
- (2) Elektromagnetisches Kalorimeter: Vermisst Impuls und Energie von *Photonen* und *Elektronen*
- über 80.000 mit je einer Photodiode bestückte PbWO_4 -Kristalle als Szintillatoren.
- in den Endkappen des zylindrischen Aufbaus stattdessen *em*-Schauerzähler.



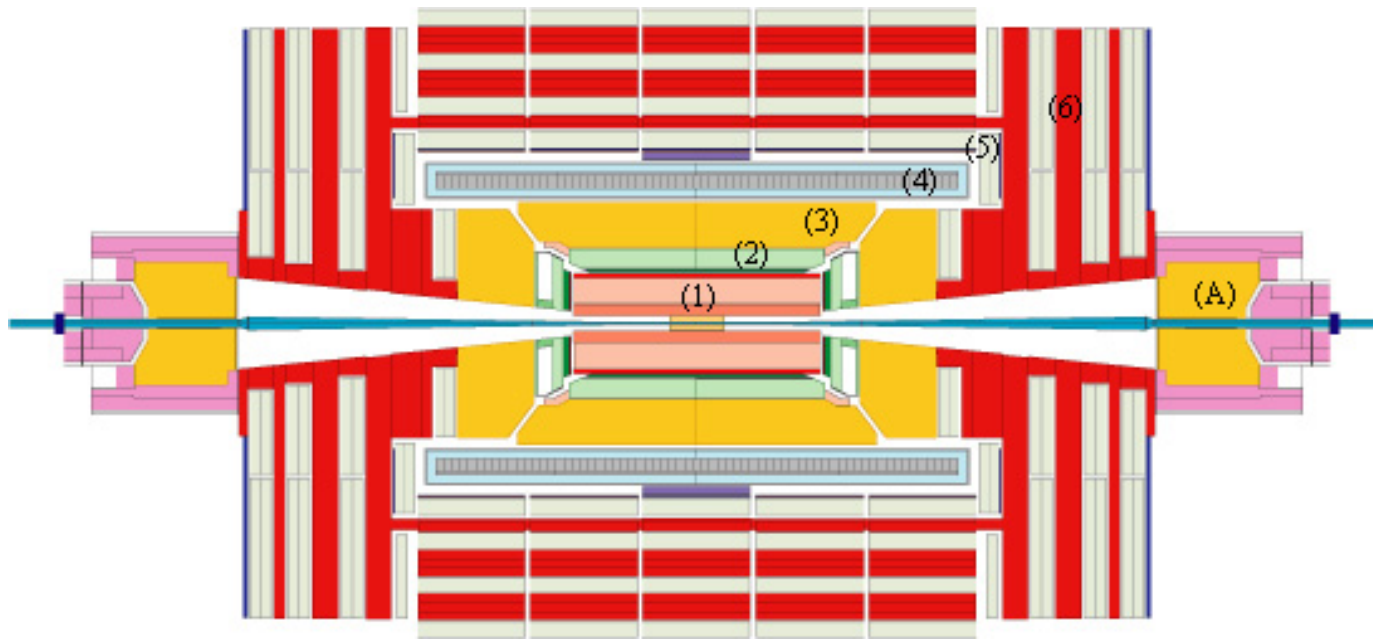
- (3) Hadronisches Kalorimeter: Vermisst und identifiziert stark wechselwirkende Teilchen. Kann über Energie-Impuls-Bilanz auch Neutrinos detektieren
- Sandwich-Bauweise: Plastik-Szintillatorelemente eingebettet in Kupfer-Absorberplatten (außen Stahl statt Kupfer)
- Außen eine zweite Schicht für Teilchen mit Restenergie



- (4) Detektormagnet (supraleitende Spule): erzeugt bis zu 4 T innerhalb des Eisenjochs bei $4,45\text{ K}$.
- (6) Eisenjoch: Dient der Rückführung des magnetischen Feldes



- (5) Myonspektrometer (IIIa): Vermisst mit (1) den μ -Impuls
- Je vier Myonkammerschichten zwischen den Eisenjochen, zylindrisch um die Achse sowie in den Endkappen
- 3 Typen von Detektoren: Driftkammern (in homogenem Feld), Kathodenstreifen-Kammern (inhomogen) und einige RPC ("resistive parallel plate chambers" /Triggerung)

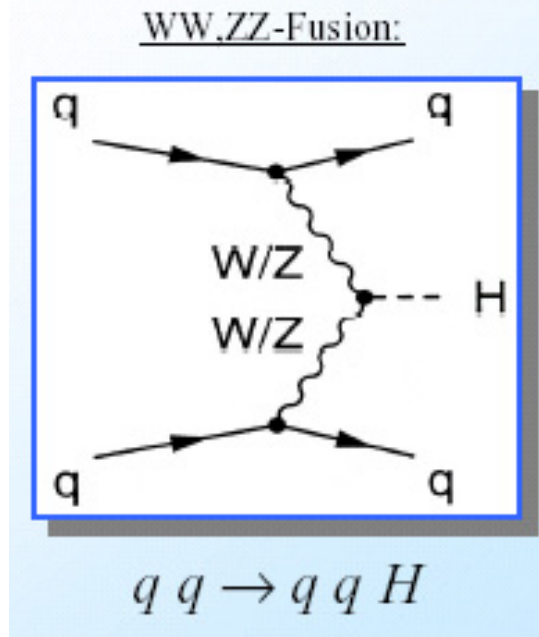
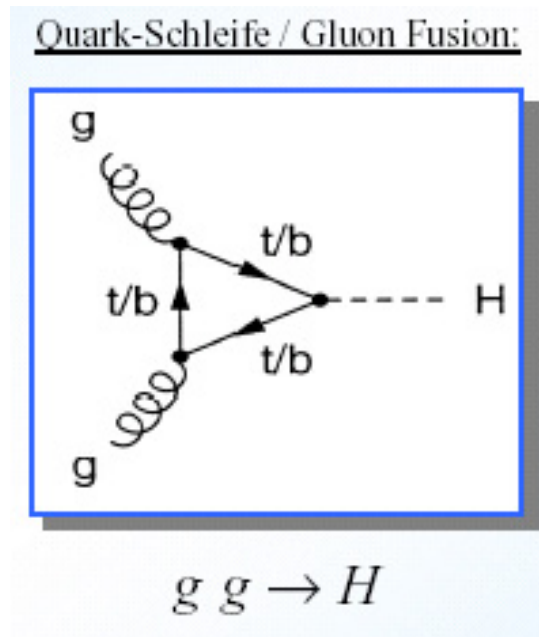


- (A) Vorwärts-Kalorimeter: Kann noch unter sehr kleinen Winkeln zur Strahlachse genau messen
- Proportionalzählkammern mit zwischengelegten Eisenabsorbern.

- Animation "Teilchen im Detektor" abspielen (PowerPoint)

Nachweis des Higgs-Bosons

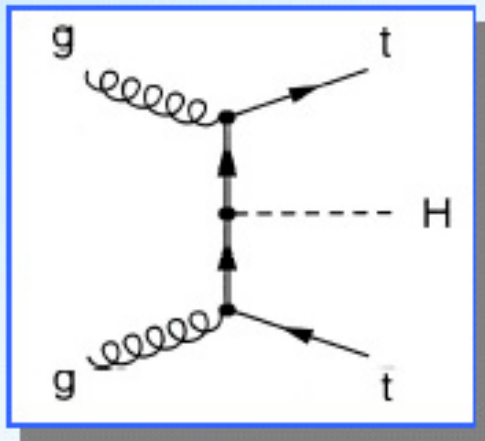
- 5 relevante Reaktionen für Higgs-Produktion:
 - ”relativ” hoher Wirkungsquerschnitt:



Nachweis des Higgs-Bosons

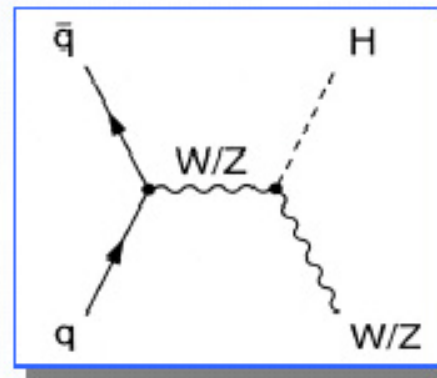
- 5 relevante Reaktionen für Higgs-Produktion:
 - niedrigerer Wirkungsquerschnitt:

Higgs-Strahlung vom t-Quark I:



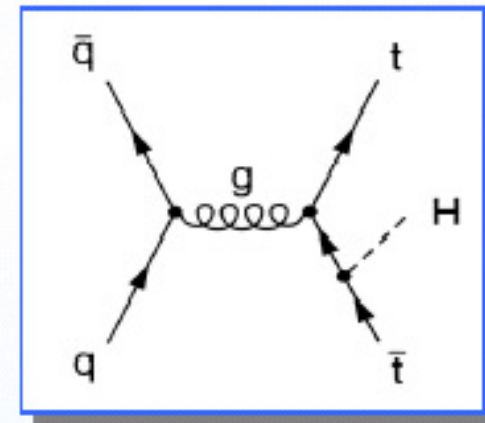
$$g g \rightarrow t \bar{t} H$$

Bremsstrahlung vom W/Z:



$$q \bar{q} \rightarrow W H \quad | \quad q \bar{q} \rightarrow Z H$$

Higgs-Strahlung vom t-Quark II:



$$q \bar{q} \rightarrow t \bar{t} H$$

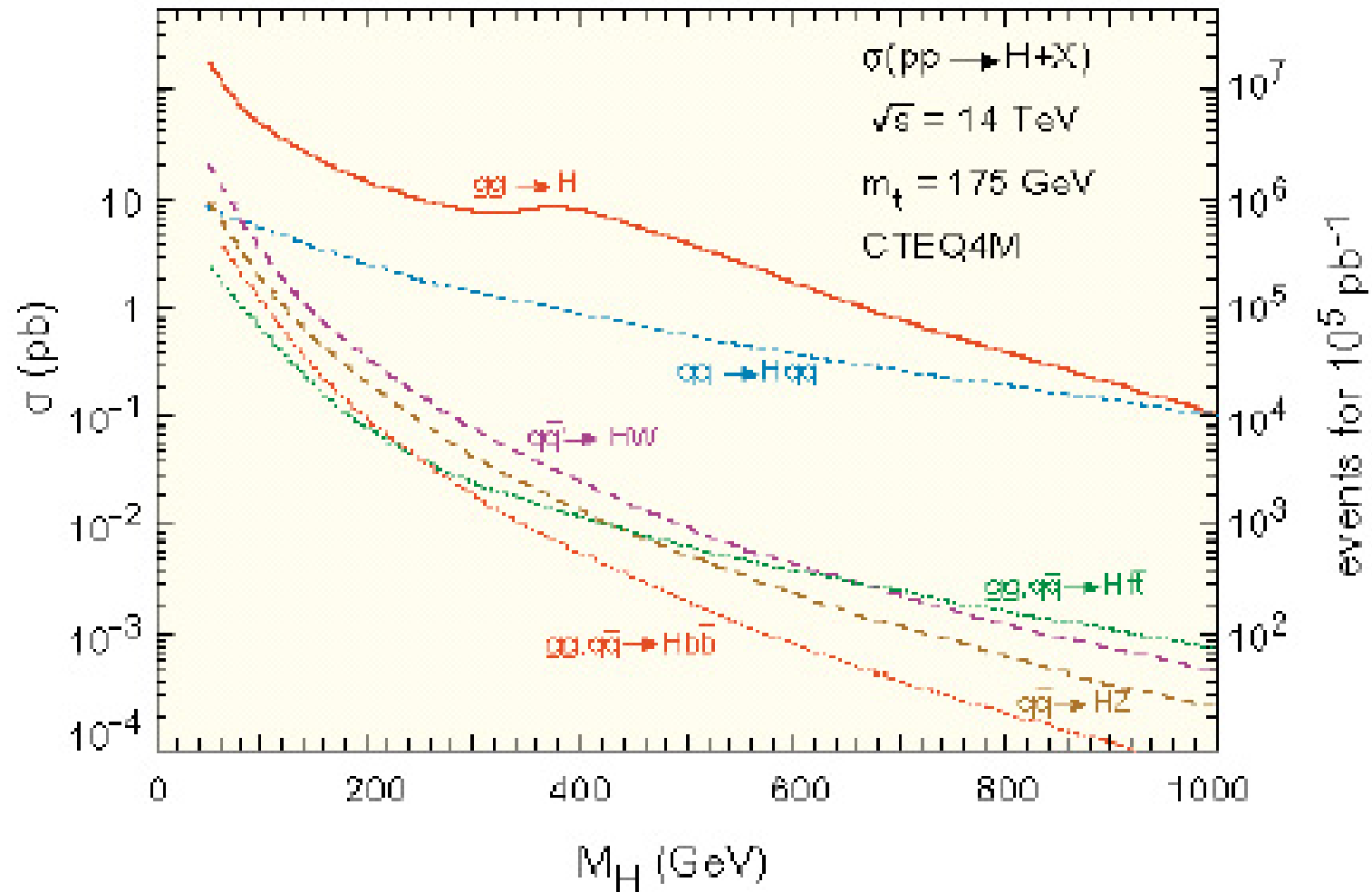
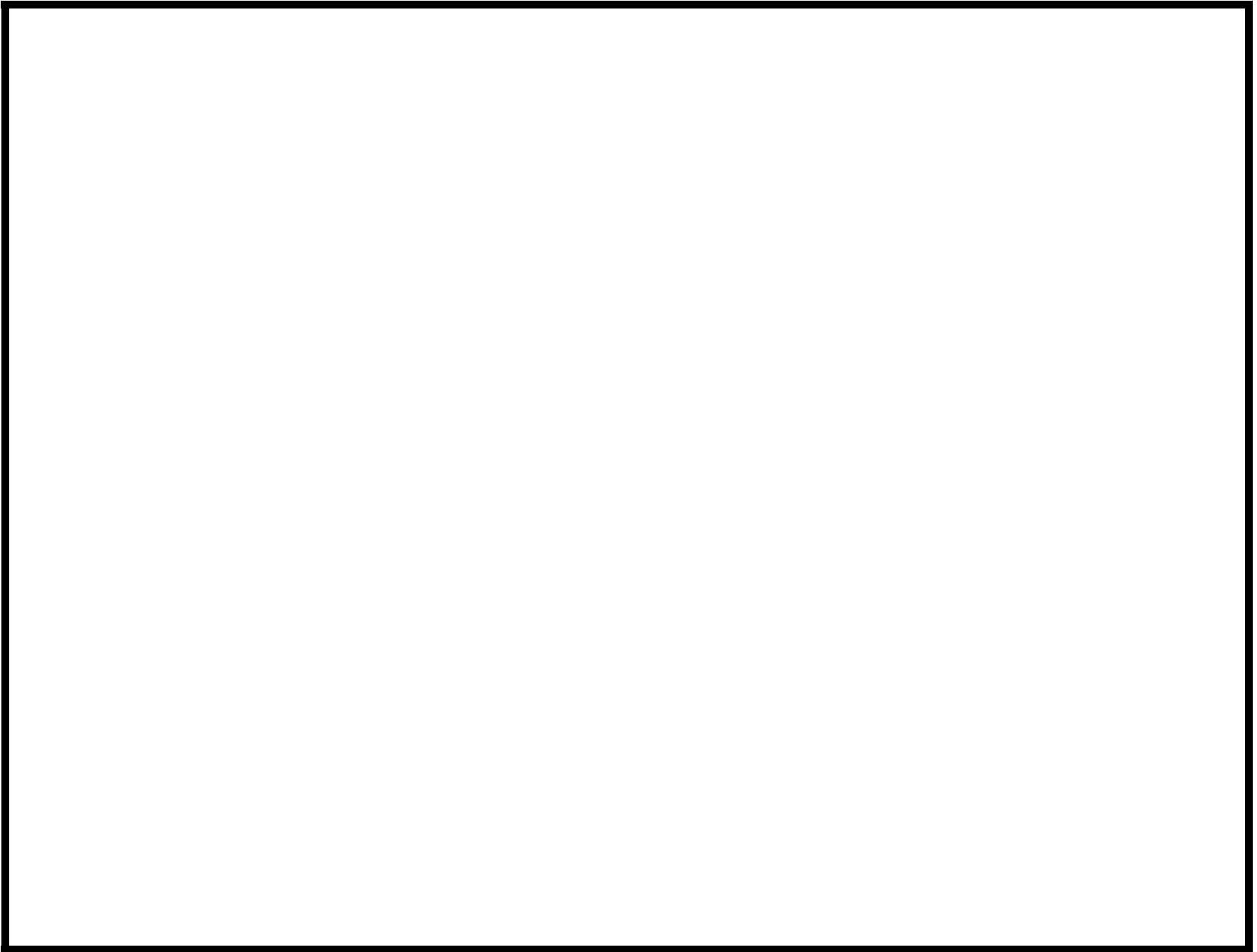


Figure 3: Zur Erinnerung: Wirkungsquerschnitte bei der Higgs-Produktion am LHC



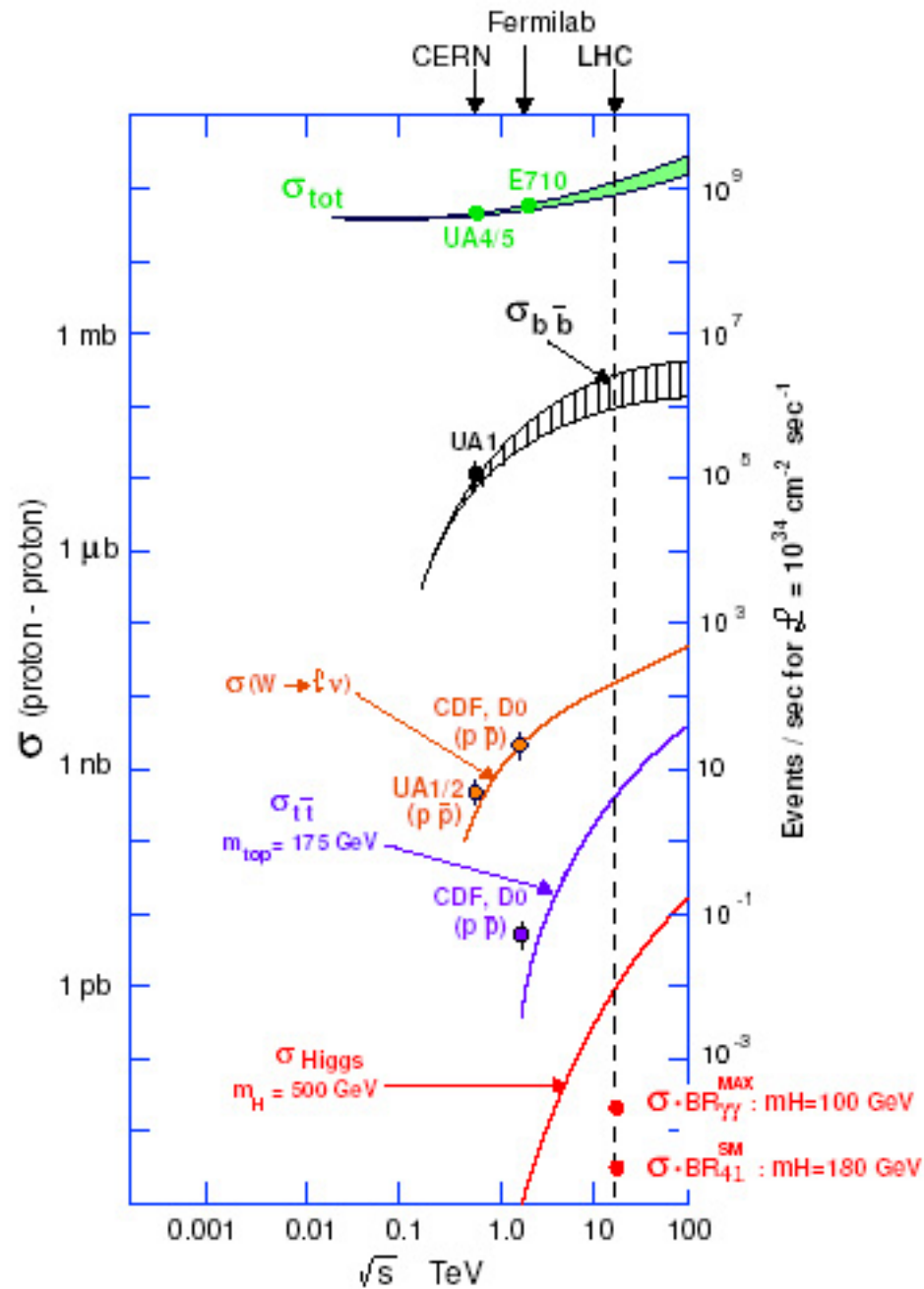
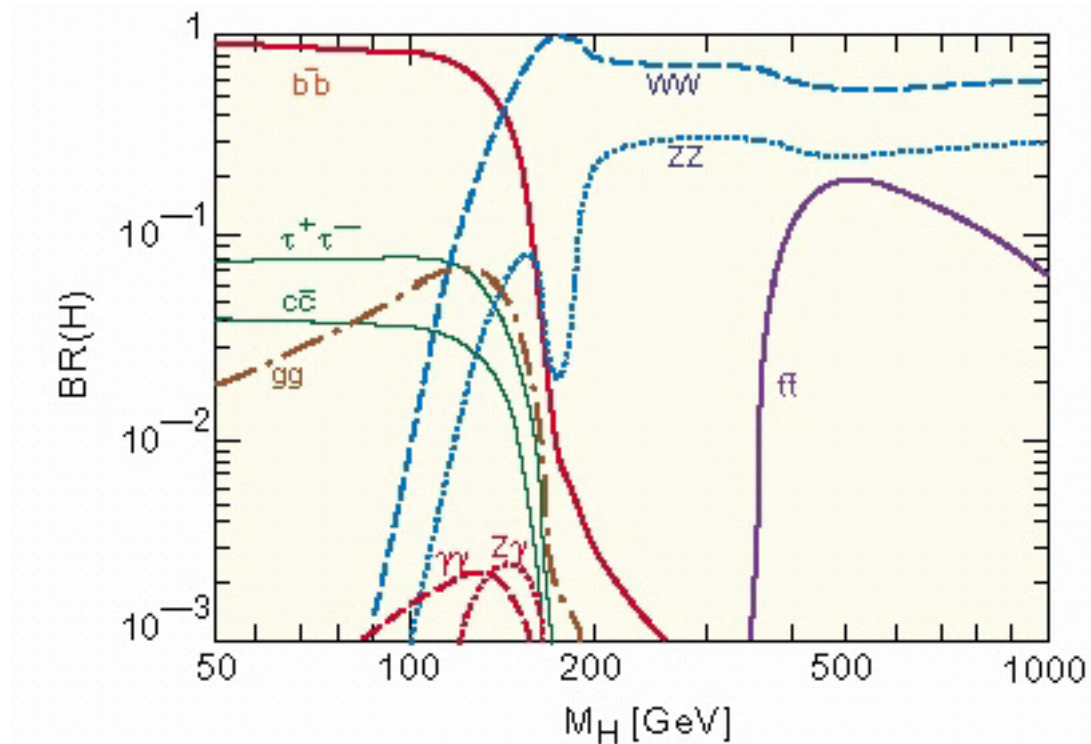


Figure 4: Wirkungsquerschnitte verschiedener Reaktionen am LHC

- Unterschied zwischen $\sigma_{tot} \approx 10^9$ und $\sigma_{Higgs} \approx 10^{-5}$ beträgt rund 14 Größenordnungen
- Bei 10^{16} Ereignissen pro Jahr erwartet man also 10^2 Higgs-Ereignisse
- \Rightarrow Lange Laufzeiten, extremste Anforderungen an Auswertungsalgorithmen.

Zerfallskanäle

- Das Higgs kann nicht *direkt* nachgewiesen werden, schon allein aufgrund seiner Lebensdauer; je nach Masse zwischen $10^{-43}s$ und $10^{-46}s$
- Je nach Masse werden ganz unterschiedliche Zerfälle dominant:



- $m_H > \sim 130 \text{ GeV} (\approx 2m_Z/m_W) \Rightarrow$
 - ”Gold plated - Events” $H \rightarrow ZZ^* \rightarrow \{eeee/\mu\mu\mu\mu/ee\mu\mu\}$
 - außerdem $H \rightarrow WW^* \rightarrow l\bar{l}\nu\bar{\nu}$, $l = \text{Lepton}$
 - hingegen ist $H \rightarrow t\bar{t}/b\bar{b}$ überlagert von $gg \rightarrow t\bar{t}/b\bar{b}$;
 $H \rightarrow t\bar{t}$ wird aufgrund der hohen top-Masse zudem erst
interessant ab sehr hoher Energie ($> 250 \text{ GeV}$).

- $m_H < \sim 130 \text{ GeV} (\approx 2m_Z/m_W) \Rightarrow$
 - $H \rightarrow$ top-Schleife $\rightarrow \gamma\gamma$ bevorzugt zur Auswertung, da definierte Energie der Photonen (scharfer Peak)
 - $H \rightarrow b\bar{b}, t\bar{t}$ nicht nachweisbar, da Untergrund hierfür zu stark.
 - am Tevatron hingegen tritt hier ein $b\bar{b}$ zusammen mit einem W oder Z auf, daher hier wieder eine sehr eindeutige Signatur.